

感应子中频发电机气隙磁导谐波分析法

东风电机厂 杨烈福

在研究感应子中频发电机和其它交流电机的电压波形时，需要用到谐波分析法，即将已知的函数 $y = f(x)$ 展开为傅立叶级数。

对于任何一个函数，只要满足其收敛条件就可以在区间 $[-\pi, \pi]$ 展开为傅立叶级数：

$$f(x) = \frac{a_0}{2} + \sum_{k=1}^{\infty} (a_k \cos kx + b_k \sin kx) \quad (1)$$

式中 a_0 为恒定分量， a_k 、 b_k 为傅立叶系数，就是我们通常所说的 K 次谐波的幅值，等于

$$a_0 = \frac{1}{\pi} \int_{-\pi}^{\pi} f(x) dx \quad (2)$$

$$a_k = \frac{1}{\pi} \int_{-\pi}^{\pi} f(x) \cos kx dx \quad (3)$$

$$b_k = \frac{1}{\pi} \int_{-\pi}^{\pi} f(x) \sin kx dx \quad (4)$$

如果已知函数为偶函数，即 $f(x) = f(-x)$ ，其图形对称于纵坐标轴，则可展为余弦级数

$$f(x) = \frac{a_0}{2} + \sum_{k=1}^{\infty} a_k \cos kx \quad (5)$$

其系数（包括 a_0 ）为

$$a_k = \frac{2}{\pi} \int_0^{\pi} f(x) \cos kx dx \quad (6)$$

如果已知函数为奇函数，即 $f(-x) = -f(x)$ ，其图形对称于原点，则可展开为正弦级数

$$f(x) = \sum_{k=1}^{\infty} b_k \sin kx \quad (7)$$

其系数（包括 a_0 ）为

$$b_k = \frac{2}{\pi} \int_0^{\pi} f(x) \sin kx dx \quad (8)$$

谐波分析法的关键在于找出函数 $y = f(x)$ 的数学表达式。

但是在实践中，很多情况下函数 $y = f(x)$ 的数学表达式难以确定，然而函数的图形却可以通过计算或者测试描绘出来。例如可以用示波器摄取发电机的电压波形。这种情况下，要对图形进行谐波分析，需要寻求一种近似的方法计算傅立叶系数，把图形近似地表达为傅立叶级数。这种方法，称为实用谐波分析法或近似谐波分析法，其关键在于用近似积分法求出傅立叶系数。

根据定积分的定义：

$$\int_a^b f(x) dx = \lim_{n \rightarrow \infty} \sum_{i=1}^n f(\xi_i) \Delta x_i$$

$|\Delta x_i| \rightarrow 0$

可以近似地认为（见图1）

$$\int_a^b f(x) dx \approx \sum_{i=1}^{n-1} f(x_i) \Delta x_i$$

$$= \sum_{i=1}^{n-1} y_i \Delta x_i$$

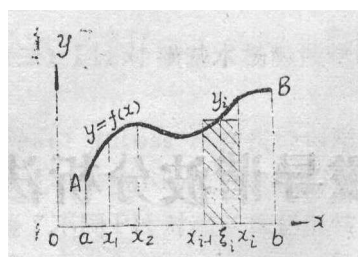


图 1

$$\begin{aligned}
 &= \sum_{i=0}^{n-1} (y_0 \Delta x_0 + y_1 \Delta x_1 + \cdots \\
 &\cdots y_i \Delta x_i + \cdots + y_{n-1} \Delta x_{n-1}) \quad (9)
 \end{aligned}$$

如果各个区间为等分, 则 $\Delta x_i = \Delta x$

$$= \frac{b-a}{n},$$

$$\begin{aligned}
 \int_a^b f(x) dx &\approx \frac{b-a}{n} (y_0 + y_1 + y_2 \\
 &+ \cdots + y_{n-1}) \quad (10)
 \end{aligned}$$

等分数愈多, 所得的结果就愈精确。

假定已知的图形如图 2 所示。在图形上按适当比例画上坐标, 横坐标用角度或

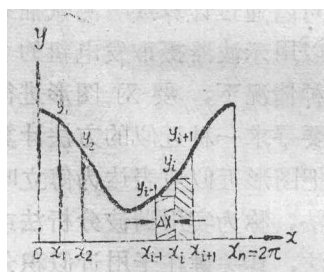


图 2

弧度表示, 纵坐标为函数 y 。

(1) 把区间 $[0, 2\pi]$ 分成 n 等分 (最好按三角函数的特点, 取 $n=6, 12, 16, 24, \cdots$ 等, 使每一等分角度的三角函数值便于记忆), 每一等分的宽度 $\Delta x = \frac{2\pi}{n}$, 各等分点的横坐标为 $x_0=0, x_1, x_2, \cdots, x_i, \cdots, x_{n-1}, x_n=2\pi$ 。

(2) 确定各等分点的纵坐标 $y_0,$

$y_1, y_2, \cdots, y_i, \cdots, y_{n-1}, y_n$

(3) 求傅立叶系数的近似值:

$$\begin{aligned}
 a_0 &\approx \frac{2}{n} (y_0 + y_1 + y_2 + \cdots + y_i + \cdots + y_{n-1}) \\
 &= \frac{2}{n} \sum_{i=0}^{n-1} y_i
 \end{aligned}$$

$$\begin{aligned}
 a_k &\approx \frac{2}{n} (y_0 \cos kx_0 + y_1 \cos kx_1 + y_2 \cos kx_2 \\
 &+ \cdots + y_i \cos kx_i + \cdots + y_{n-1} \cos kx_{n-1}) \\
 &= \frac{2}{n} \sum_{i=0}^{n-1} y_i \cos kx_i; \quad (12)
 \end{aligned}$$

$$\begin{aligned}
 b_k &\approx \frac{2}{n} (y_0 \sin kx_0 + y_1 \sin kx_1 + \cdots + y_i \sin kx_i \\
 &+ \cdots + y_{n-1} \sin kx_{n-1}) \\
 &= \frac{2}{n} \sum_{i=0}^{n-1} y_i \sin kx_i. \quad (13)
 \end{aligned}$$

从而可写出 (1) 式所示的傅立叶级数的近似表示式。等分点 n 愈多, 所得的结果就愈精确。

二

感应子中频发电机的空载电压波形决定于气隙磁场的分布⁽⁴⁾, 在设计中要预先计算空载电压波形畸变率时, 就要对气隙磁导变化曲线进行谐波分析。

感应子电机气隙磁导的分布曲线十分复杂, 难以用一个具体的函数表示。在实际设计中, 一般是先计算出磁导变化曲线, 然后应用近似谐波分析法进行谐波分解。

转子旋转时, 一个定子线圈跨距范围内的气隙磁导 λ_t 周期性地变化。设转子齿中心线与定子线圈中心线之间的夹角为 α_t , 用电角度表示, 当定子线圈中心线与转子齿中心线重合时, $\alpha_t=0$, λ_t 为最大值; 当 $\alpha_t=180^\circ$ 时, λ_t 为最小值。算出 α_t 为不同数值时的一系列转子位置下的气隙磁导值 λ_t , 便可绘出当转子旋转时, 一个

定子线圈范围内的气隙磁导随时间变化的曲线 $\lambda_t = f(\alpha_t)$ (图3)，其图形对称于

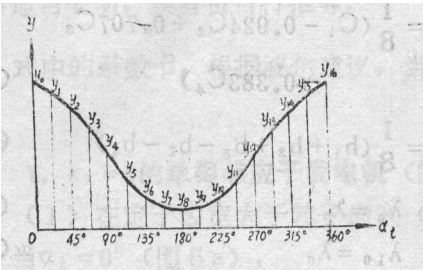


图 3

纵坐标轴，是一个偶函数，可展开为余弦级数。一般情况下，只要算出当 $\alpha_t = 0^\circ, 45^\circ, 90^\circ, 135^\circ, 180^\circ$ 五种转子位置下的 λ_t 值，并利用图形的对称性，就可绘制出磁导变化曲线的一个周期。如果算的点愈多，例如每隔 22.5° 算出 $\alpha_t = 0^\circ \sim 180^\circ$ 范围内九种转子位置下的磁导值，则更精确。磁导计算采用波尔 (Pohl) 的磁导分析法⁽⁵⁾ (二种形式的感应子电机磁导变化曲线的计算公式见附录)。

得出气隙磁导变化曲线，就可进行谐波分析。

将磁导变化曲线 $\lambda_t = f(\alpha_t)$ 的一个周期 $[0, 2\pi]$ 分成 n 等分，在图上求出各等分点 $\alpha_0, \alpha_1, \alpha_2 \cdots \alpha_{n-1}, \alpha_n$ 所对应的坐标值 $y_0, y_1, y_2, \cdots y_{n-1}, y_n$ ，应用前述实用谐波分析法，就可以求出磁导曲线中各次谐波的幅值：

$$\lambda_0 = \frac{1}{n}(y_0 + y_1 + y_2 + \cdots + y_{n-1}) \quad (14)$$

$$\lambda_k = \frac{2}{n}(y_0 \cos k\alpha_0 + y_1 \cos k\alpha_1 + y_2 \cos k\alpha_2 + \cdots + y_{n-1} \cos k\alpha_{n-1}) \quad (15)$$

等分数 n 愈多，计算结果就愈精确。一般情况下，取 $n = 16$ 等分，就足够了。

由此得磁导变化曲线的傅立叶级数为

$$\lambda_t = \lambda_0 + \sum_1^k \lambda_k \cos k\alpha_t \quad (16)$$

三

按波尔磁导分析方法经适当变换和整理，推出一套简便实用的感应子电机气隙磁导谐波分析算法 (取 $n = 16$)，经实践验证足够精确。具体步骤是：

(1) 计算出 $\alpha_t = 0^\circ, 45^\circ, 90^\circ, 135^\circ, 180^\circ$ 五种转子位置下的气隙磁导值 λ_t ，绘出 $[0, 180^\circ]$ 半个周期磁导变化曲线 $\lambda_t = f(\alpha_t)$ (见图4)。

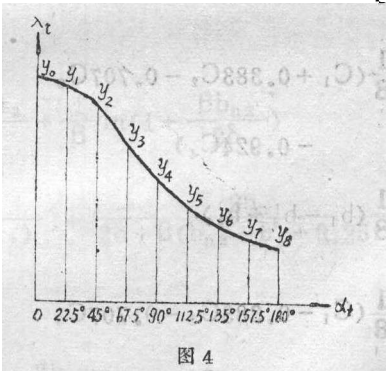


图 4

(2) 求出下列角度 (见下表) 所对应的磁导值 $\lambda_t: y_0, y_1, y_2 \cdots$ 。

α_t	0°	22.5°	45°	67.5°	90°	112.5°	135°	157.5°	180°
λ_t	y_0	y_1	y_2	y_3	y_4	y_5	y_6	y_7	y_8

(3) 求出下列有关系数:

$$b_1 = y_0 + y_8;$$

$$b_2 = 2(y_1 + y_7);$$

$$b_3 = 2(y_2 + y_6);$$

$$b_4 = 2(y_3 + y_5);$$

$$b_5 = 2y_4;$$

$$C_1 = y_0 - y_8;$$

$$C_2 = 2(y_1 - y_7);$$

$$C_3 = 2(y_2 - y_6);$$

$$C_4 = 2(y_3 - y_5)。$$

(4) 求出各次谐波幅值 (一般只需求出前面恒定分量入, 基波幅值 λ_1 , 二次谐波幅值 $\lambda_2 \dots \lambda_7$ 等 8 次就足够精确了):

$$\lambda_0 = \frac{1}{16}(b_1 + b_2 + b_3 + b_4 + b_5) \quad (17)$$

$$\lambda_1 = \frac{1}{8}(C_1 + 0.924C_2 + 0.707C_3 + 0.383C_4) \quad (18)$$

$$\lambda_2 = \frac{1}{8}(b_1 + 0.707(b_2 - b_4) - b_5) \quad (19)$$

$$\lambda_3 = \frac{1}{8}(C_1 + 0.383C_2 - 0.707C_3 - 0.924C_4) \quad (20)$$

$$\lambda_4 = \frac{1}{8}(b_1 - b_3 + b_5) \quad (21)$$

$$\lambda_5 = \frac{1}{8}(C_1 - 0.383C_2 - 0.707C_3 + 0.924C_4) \quad (22)$$

$$\lambda_6 = \frac{1}{8}(b_1 - 0.707(b_2 - b_4) - b_5) \quad (23)$$

$$\lambda_7 = \frac{1}{8}(C_1 - 0.924C_2 + 0.707C_3 - 0.383C_4) \quad (24)$$

$$\lambda_8 = \frac{1}{8}(b_1 + b_3 + b_5 - b_2 - b_4) \quad (25)$$

$$\lambda_9 = \lambda_7 \quad (26)$$

$$\lambda_{10} = \lambda_6 \quad (27)$$

$$\lambda_{11} = \lambda_5 \quad (28)$$

更高次谐波的幅值很小, 就不需要再分解了。气隙磁导变化曲线的傅立叶展开式为

$$\begin{aligned} \lambda_t &= \lambda_0 + \lambda_1 \cos \alpha_t + \lambda_2 \cos 2\alpha_t \\ &\quad + \lambda_3 \cos 3\alpha_t + \dots \\ &= \lambda_0 + \sum_1^k \lambda_k \cos k\alpha_t \end{aligned} \quad (29)$$

参 考 文 献

- [1] М.М.АЛЕКСЕЕВА, «МАШИНИННЫЕ ГЕНЕРАТОРЫ ПОВЫШЕННОЙ ЧАСТОТЫ», 1967
- [2] 上海市电机综合研究所研究报告《同步发电机电压波形畸变率的研究》1964年
- [3] 樊映川等编《高等数学讲议》
- [4] 东风技讯1980年第10期《感应子中频发电机电势波形的改善》
- [5] Pohl《JIEE》, 1946, P 73

附 录

气隙磁导变化曲线计算的有关公式

下面列出了二种感应子电机, 在转子齿中心线与定子线圈中心线之间的夹角 α_t 为不同数值时气隙磁导的计算式子。“气隙磁导”实际上是指气隙磁导计算系数, 因两者是成比例的, 气隙磁导计算系数乘上某一数值, 就是实际的气隙磁导值。

气隙磁导系数的计算是根据波尔 (Pohl) 的磁导分析法推导出来的, 供参考。在某些特殊条件下, 例如定、转子齿槽的几何尺寸和边界条件超出了正常范围, 则这些式子要作适当变动, 读者可自行推导。

式中的系数 β , 根据波尔建议, 当 $\frac{b_{n2}}{\delta} < 10$ 时, 取 $\beta = 1$; 当 $\frac{b_{n2}}{\delta} > 10$ 时, 取 $\beta =$

1.1。

1. $k_z = 2$ 的单相感应子发电机 (图 5)

(1) 在定子齿宽大于转子齿宽 ($b_1 > b_2$) 的情况下:

当 $\alpha_t = 0^\circ$ (图 5 a):

$$\lambda_{(0)} = \frac{b_2}{\delta} + \frac{2}{\beta} \ln\left(1 + \frac{\beta(b_1 - b_2)}{2\delta}\right) + \frac{1}{\beta} \ln\left(1 + \frac{2\beta b_{n1}}{2\delta + \beta(b_1 - b_2)}\right) \quad (1)$$

当 $\alpha_t = 45^\circ$ (图 5 b):

$$\begin{aligned} \lambda_{(45)} = & \frac{1}{\beta} \ln\left(1 + \frac{\beta b_{n1}}{2\delta}\right) + \frac{b_1 + b_2 - 0.25t_2}{2\delta} + \frac{1}{\beta} \ln\left(1 + \frac{\beta(b_1 - b_2 + 0.25t_2)}{2\delta}\right) \\ & + \frac{1}{2\beta} \ln\left(1 + \frac{2\beta b_{n1}}{2\delta + \beta(b_1 - b_2 + 0.25t_2)}\right) \end{aligned} \quad (2)$$

当 $\alpha_t = 90^\circ$ (图 5 c):

$$\begin{aligned} \lambda_{(90)} = & \frac{b_2 - b_{n1}}{2\delta} + \frac{1}{\beta} \ln\left(1 + \frac{\beta b_{n1}}{2\delta}\right) + \frac{1}{\beta} \ln\left(1 + \frac{\beta(b_{n2} - b_{n1})}{2\delta}\right) \\ & + \frac{1}{2\beta} \ln\left(1 + \frac{2\beta b_{n1}}{2\delta + \beta(b_{n2} - b_{n1})}\right) \end{aligned} \quad (3)$$

当 $\alpha_t = 135^\circ$ (图 5 d):

$$\begin{aligned} \lambda_{(135)} = & \frac{1}{\beta} \ln\left(1 + \frac{\beta b_{n1}}{2\delta}\right) + \frac{b_2 - b_{n1} - 0.25t_2}{2\delta} + \frac{1}{\beta} \ln\left(1 + \frac{\beta b_{n2}}{2\delta}\right) \\ & + \frac{1}{\beta} \ln\left(1 + \frac{\beta(b_1 - 0.25t_2)}{2\delta + \beta(b_{n2} - b_1 + 0.25t_2)}\right) + \frac{2b_{n1}}{2\delta + \beta(b_{n2} - b_1 + 0.25t_2)} \end{aligned} \quad (4)$$

当 $\alpha_t = 180^\circ$ (图 5 e) 时:

$$\lambda_{(180)} = \frac{2}{\beta} \ln\left(1 + \frac{\beta b_1}{2\delta + \beta(b_{n2} - b_1)}\right) + \frac{2b_{n1}}{2\delta + \beta(b_{n2} - b_1)} \quad (5)$$

(2) 在定子齿宽等于转子齿宽 ($b_1 = b_2$) 的情况下:

当 $\alpha_t = 0^\circ$ 时,

$$\lambda_{(0)} = \frac{b_2}{\delta} + \frac{1}{\beta} \ln\left(1 + \frac{\beta b_{n1}}{\delta}\right) \quad (6)$$

当 $\alpha_t = 45^\circ$ 时, $\lambda_{(45)}$ 按(2)式计算。

当 $\alpha_t = 90^\circ$ 时, $\lambda_{(90)}$ 按(3)式计算。

当 $\alpha_t = 135^\circ$ 时, $\lambda_{(135)}$ 按(4)式计算。

当 $\alpha_t = 180^\circ$ 时,

$$\lambda_{(180)} = \frac{2}{\beta} \ln \left(1 + \frac{\beta b_1}{2(\delta + \beta b_{n1})} \right) + \frac{b_{n1}}{\delta + \beta b_{n1}} \quad (7)$$

(3) 在定子齿宽小于转子齿宽 ($b_1 < b_2$) 的情况下:

当 $\alpha_t = 0^\circ$ 时,

$$\lambda_{(0)} = \frac{b_1}{\delta} + \frac{2}{\beta} \ln \left(1 + \frac{\beta(b_2 - b_1)}{2\delta} \right) + \frac{1}{\beta} \ln \left(1 + \frac{\beta(t_1 - b_2)}{\delta + 0.5\beta(b_2 - b_1)} \right) \quad (8)$$

当 $\alpha_t = 45^\circ$ 时, $\lambda_{(45)}$ 按(2)式计算。

当 $\alpha_t = 90^\circ$ 时, $\lambda_{(90)}$ 按(3)式计算。

当 $\alpha_t = 135^\circ$ 时,

$$\begin{aligned} \lambda_{(135)} = & \frac{1}{\beta} \ln \left(1 + \frac{\beta(0.5b_2 - 0.25t_1)}{\delta + \beta\Delta} \right) + \frac{\Delta}{\Delta + \beta\Delta} \\ & + \frac{1}{\beta} \ln \left(1 + \frac{\beta(b_1 - 0.25t_2)}{2\delta + \beta(b_{n2} - b_1 + 0.25t_2)} \right) + \frac{b_{n1}}{2\delta + \beta(b_{n2} - b_1 + 0.25t_2)} \\ & + \frac{1}{\beta} \left(1 + \frac{\beta(0.5b_{n2} - \Delta)}{\delta + \beta\Delta} \right) \end{aligned} \quad (9)$$

式中 $\Delta = 0.25t_1 + 0.5(b_{n1} - b_2)$ 。

当 $\alpha_t = 180^\circ$ 时, $\lambda_{(180)}$ 按(5)式计算。

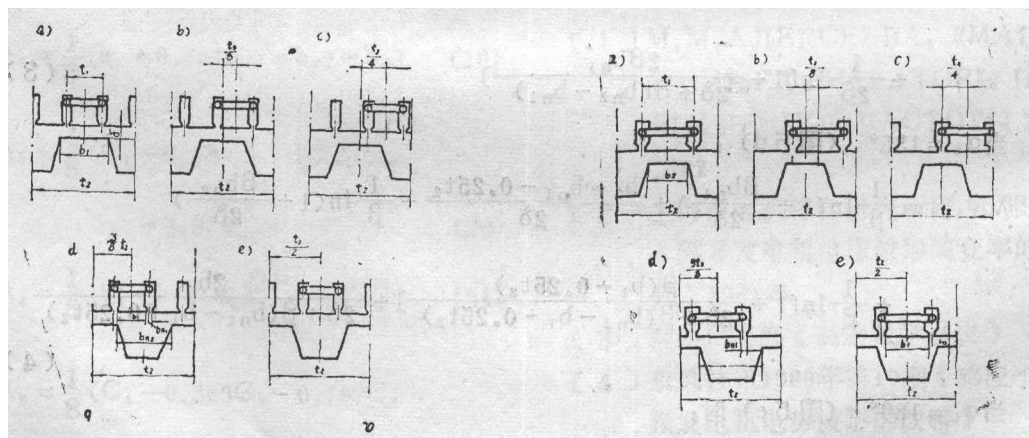


图5 α_t 为不同数值时的定、转子相对位置 (对应于 $K_z=2$ 的单相电机)

a) $\alpha_t = 0^\circ$, b) $\alpha_t = 45^\circ$, c) $\alpha_t = 90^\circ$,
d) $\alpha_t = 135^\circ$, e) $\alpha_t = 180^\circ$

图6 α_t 为不同数值时的定、转子相对位置 (对应于 $K_z=3$ 的三相电机)

a) $\alpha_t = 0^\circ$, b) $\alpha_t = 45^\circ$, c) $\alpha_t = 90^\circ$,
d) $\alpha_t = 135^\circ$, e) $\alpha_t = 180^\circ$

2. $k_z=3$ 三相感应子发电机气隙磁导变化曲线的计算 (6) 图

此处均取 $\beta=1$, 适用于 $\frac{b_{n2}}{\delta} < 10$ 的情况。

当 $\alpha_t = 0^\circ$ (图6a) 时,

$$\lambda_{(0)} = \frac{b_1}{\delta} + 2\ln\left(1 + \frac{b_{n1}}{2\delta}\right) \quad (10)$$

当 $\alpha_t = 45^\circ$ (图 6b) 时, 同(2)式取 $\beta = 1$,

当 $\alpha_t = 90^\circ$ (图 6c) 时,

$$\begin{aligned} \lambda_{(90)} = & \ln\left(1 + \frac{b_{n1}}{2\delta}\right) + \frac{b_1 + b_2 - 0.5t_2}{2\delta} + \ln\left(1 + \frac{b_1 - b_2 + 0.5t_2}{2\delta}\right) \\ & + \frac{1}{2}\ln\left(1 + \frac{b_{n1}}{2\delta + b_1 - b_2 + 0.5t_2}\right) \end{aligned} \quad (11)$$

当 $\alpha_t = 135^\circ$ (图 6d) 时,

$$\begin{aligned} \lambda_{(135)} = & \ln\left(1 + \frac{b_2 + t_1 - 0.75t_2}{2\delta + 0.75t_2 - (b_1 + b_2)}\right) + \frac{0.75t_2 - (b_1 + b_2)}{2\delta + 0.75t_2 - (b_1 + b_2)} \\ & + \ln\left(1 + \frac{0.25t_2 + b_1}{2\delta + 0.75t_2 - (b_1 + b_2)}\right) + \ln\left(1 + \frac{b_1 - 0.25t_2}{2\delta + 1.25t_2 - (b_1 + b_2)}\right) \\ & + \frac{b_{n1}}{2\delta + 1.25t_2 - (b_1 + b_2)} \end{aligned} \quad (12)$$

(适用于 $\frac{3}{8}t_2 - \frac{b_1}{2} > \frac{b_2}{2}$, $\frac{3}{8}t_2 + \frac{b_1}{2} > \frac{t_2}{2}$ 的情况)

$$\text{或 } \lambda_{(135)} = \frac{0.75t_2 - (b_1 + b_2)}{2\delta} + \frac{b_{n1}}{2\delta + 1.25t_2 - (b_1 + b_2)} + \ln\left(1 + \frac{b_{n1}}{2\delta}\right)$$

(下转第19页)

《四川机械》1983年第10期要目

位置反馈电液伺服系统动态特性的计算与测试

..... 龚浦泉 蒋世渊 崔国光 张永相

精密机床主轴轴承间隙的调整和锁紧..... 狄锦如

喷丸强化技术机理及其作用..... 洪兴宝

25CrMoV钢螺栓断裂分析..... 攀枝花钢铁研究所河门口电厂

刊 误

本刊今年第4期, 目录及32页上“夏乐天”应为夏乐发”, 35页右11行“愿”应为“意”, 39、40页的页序应互换, 65左栏倒12行“示数”应为“示教”。

电产品的结构紧凑, 传动系统简化, 式样新颖, 这也有利于艺术造型设计, 使能设计出造型简洁、美观、大方、舒畅、安全的产品。另一方面, 艺术造型设计又能促进技术设计的提高。技术设计要符合艺术设计造型的需要, 就必须在结构传动系统等上改进, 作出新型的设计。例如图 7a 为开式可倾压力机, 图 7b 为开式固定台

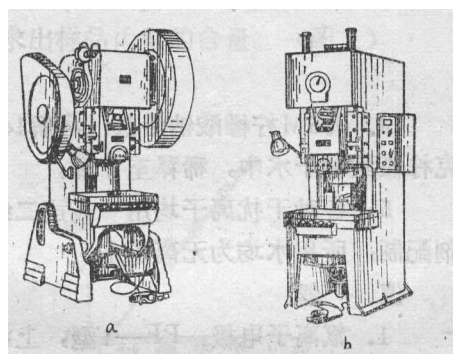


图 7

压力机, 其功能基本相同, 但造型相差很大。由于传动, 结构形式不同, 形成两种不同风格的造型型式。前者为曲轴横放式, 后者为曲轴纵放式。如果艺术造型设计出图 7a 的造型, 技术设计仍然按传统的曲轴横放结构型式, 就不可能获得造型如

此简洁的压力机, 因此, 艺术造型设计又促进了技术设计的提高。又如我们所熟悉的录音机 (见图 8), 其 a 为电子管录音



机, 其 b 为晶体管录音机。两个产品的造型何以差别如此之大? 就是由于科学技术的发展, 制造出了体积小、重量轻, 效率高、以任何安装方式都能工作的晶体管取代了占据大量空间、安装方式受一定条件限制的电子管, 即技术设计获得进步, 这就使艺术造型设计有了一个较大的发展, 就能设计出各式各样的新颖的电气产品。

因此, 技术设计与艺术造型设计是不可分割的整体, 处理好两者的辩证统一的关系, 就能设计出好产品, 就能不断促进机电产品的发展和提高。

(上接第29页)

$$+ \ln\left(1 + \frac{t_2 - b_2}{2\delta}\right) + \ln\left(1 + \frac{b_1 - 0.25t_2}{2\delta + 1.25t_2 - (b_1 + b_2)}\right) \quad (13)$$

(适用于 $\frac{3}{8}t_2 - \frac{b_1}{2} < \frac{b_2}{2}$, $\frac{3}{8}t_2 + \frac{b_1}{2} > \frac{t_2}{2}$ 的情况)

当 $\alpha_t = 180^\circ$ (图 6e) 时,

$$\lambda_{(180)} = \frac{2b_{n1}}{2\delta + t_2 - (t_1 + b_2)} + 2\ln\left(1 + \frac{b_1}{2\delta + t_2 - (b_1 + b_2)}\right) \quad (14)$$